

Fig: 11 Geologiske og topografiske forhold i nedslagsfeltet Fundin/Savalen.

Tegnet på bakgrunn av geologiske undersøkelser utført av Odd Nilsen og Ingolf Rui, geologisk institutt, Universitetet i Oslo. (Upubl.).

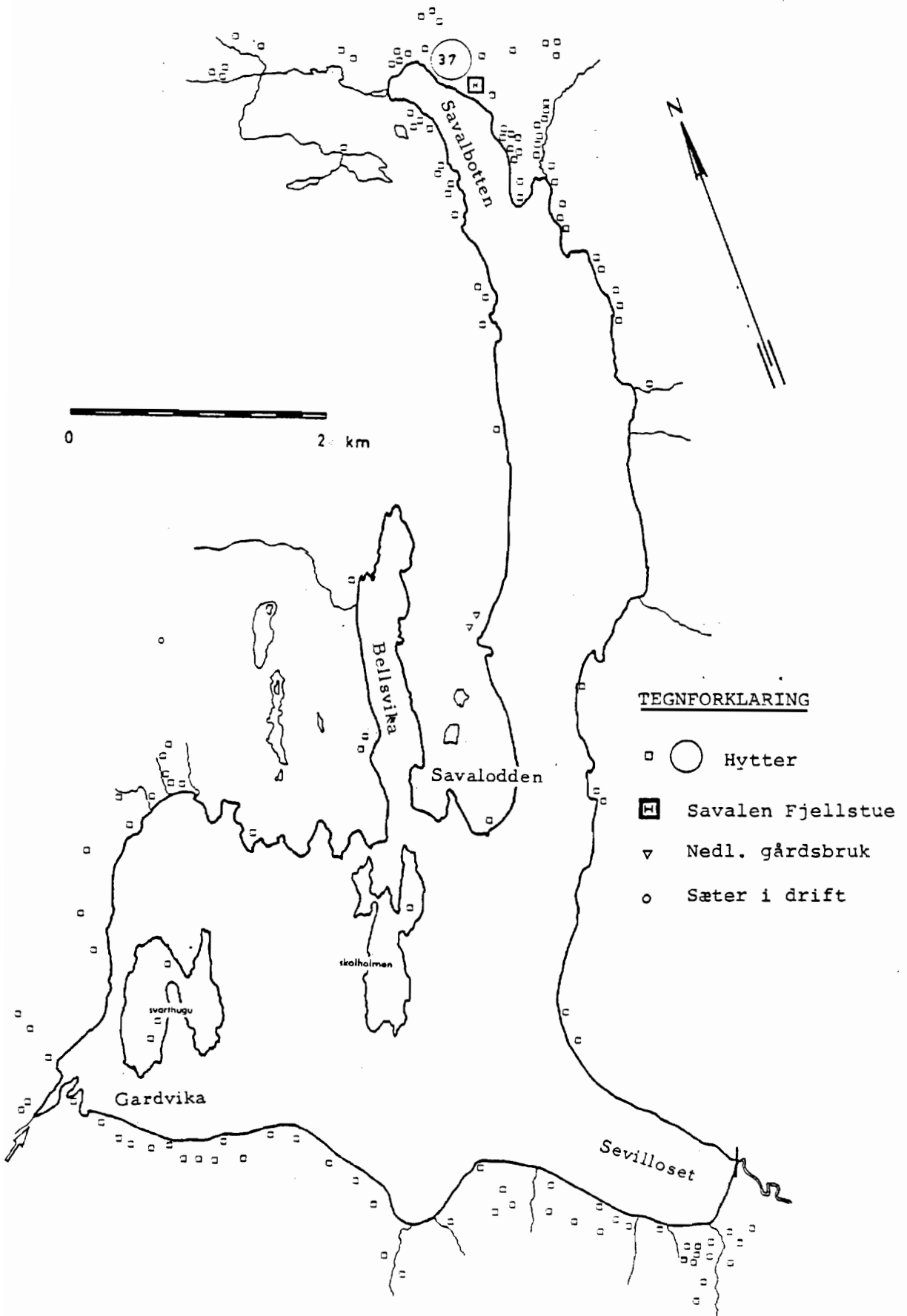
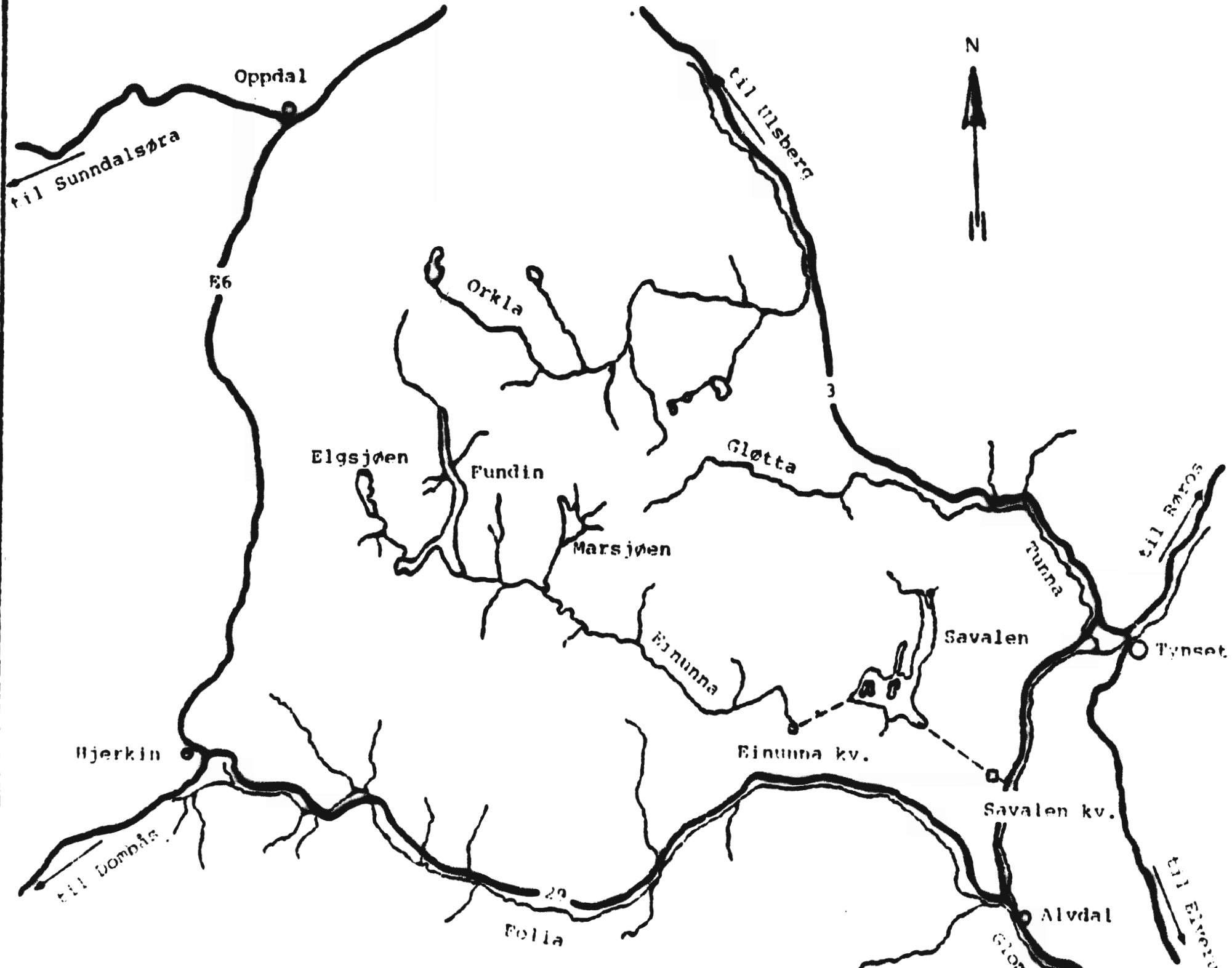


Fig: 10

Hyttebebyggelse/bosetning rundt Savalen.



Oppdal

til Sunndalsøra

66

til Ulsberg



Orkla

3

Elgsjøen

Fundin

Gløtta

Marsjøen

til Romsås

Tunna

Savalen

til Tynset

Einunna

Einunna kv.

Savalen kv.

Hjerkin

til Dombås

29

Folla

Alvdal

til Eivind

Gløtta

På årsbasis er det gjennomsnittlige spesifikke avløp, for hele nedslagsfeltet på ca. 16 l/s km².



Fig: 6

Vannstand.

Savalen.

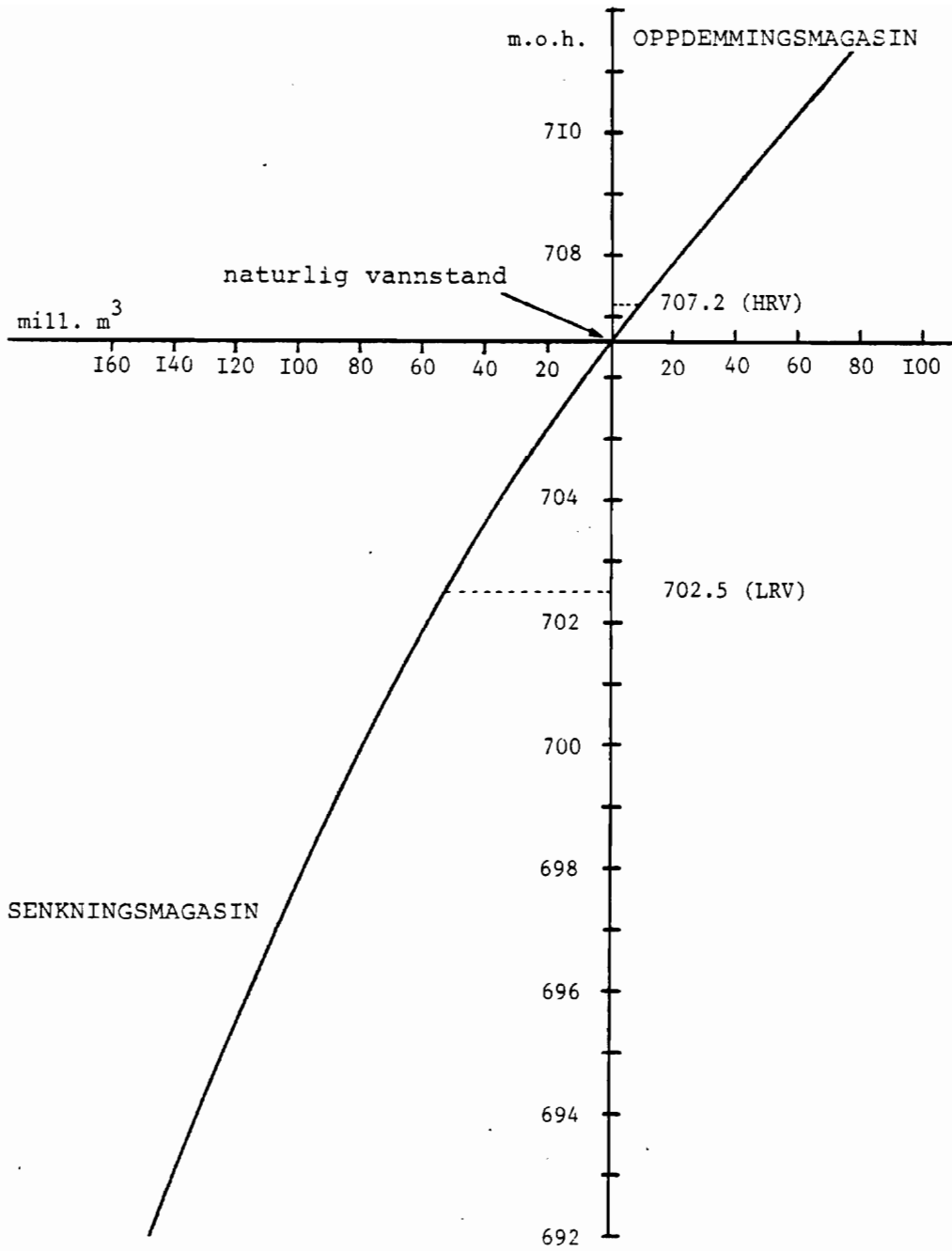


Fig: 5 MAGASINKURVE.. SAVALEN.

MORFOMETRISKE OG HYDROLOGISKE DATA.

Tab. 1

	<u>Før reg.</u>	<u>Etter reg.</u>	
		<u>LRV</u>	<u>HRV</u>
Nedbørfelt (km ²)	99	667	
Vanntilførsel (mill.m ³ /år)	28	300	
Overflateareal (km ²)	14.8	10.9	15.4
Tørrlagt område (km ²)	-	4.5	-
Volum (mill.m ³)	255	200	265
Maks. lengde (km)	-	7.0	8.5
Maks. bredde (km)	-	4.6	4.1
Middeldyp (m)	17.2	18.4	17.2
Maks. dyp (m)	-	-	62
Teoretisk oppholdstid (år)	9.5	0.8	

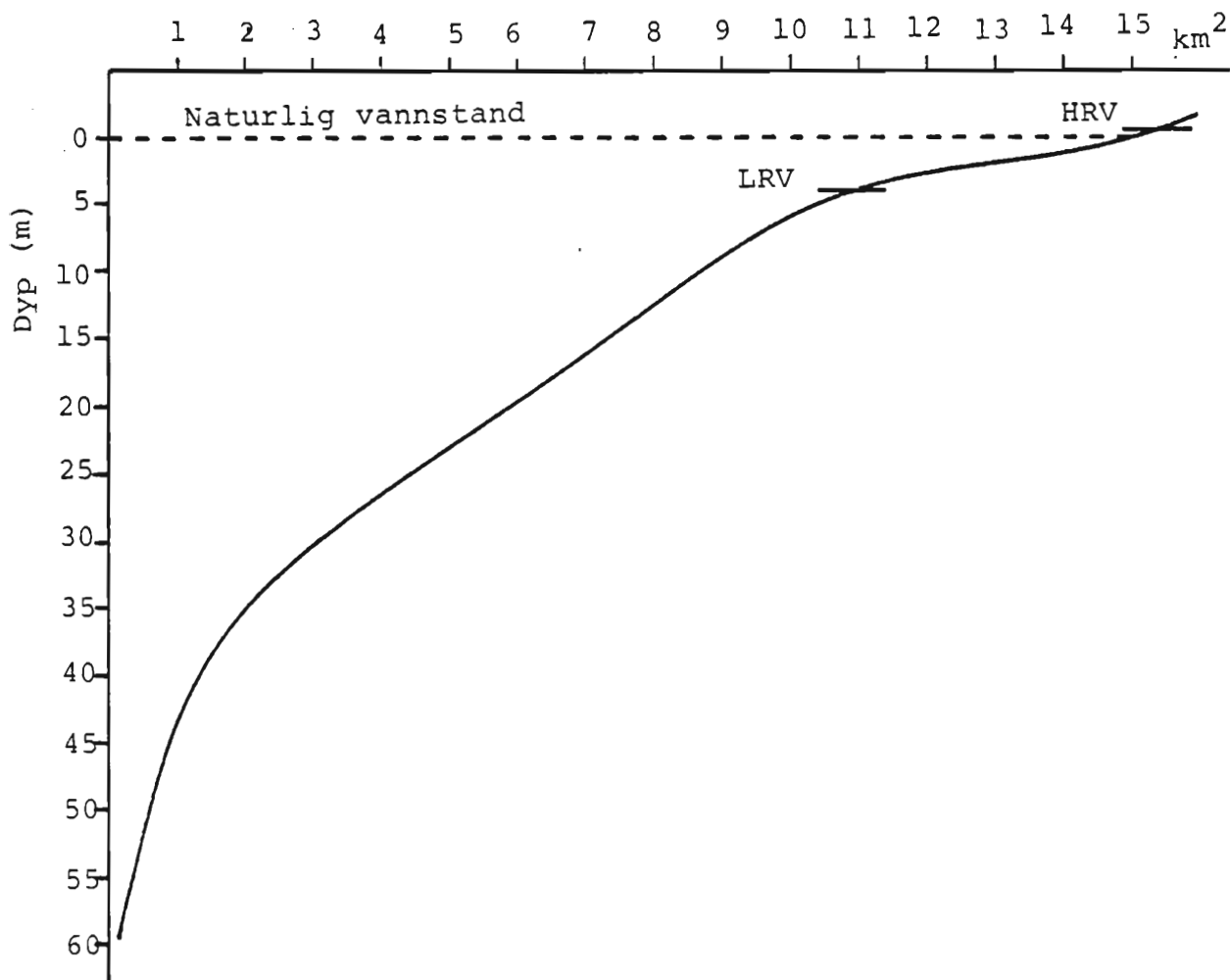


Fig: 4

BATYGRAFISK KURVE. SAVALEN.

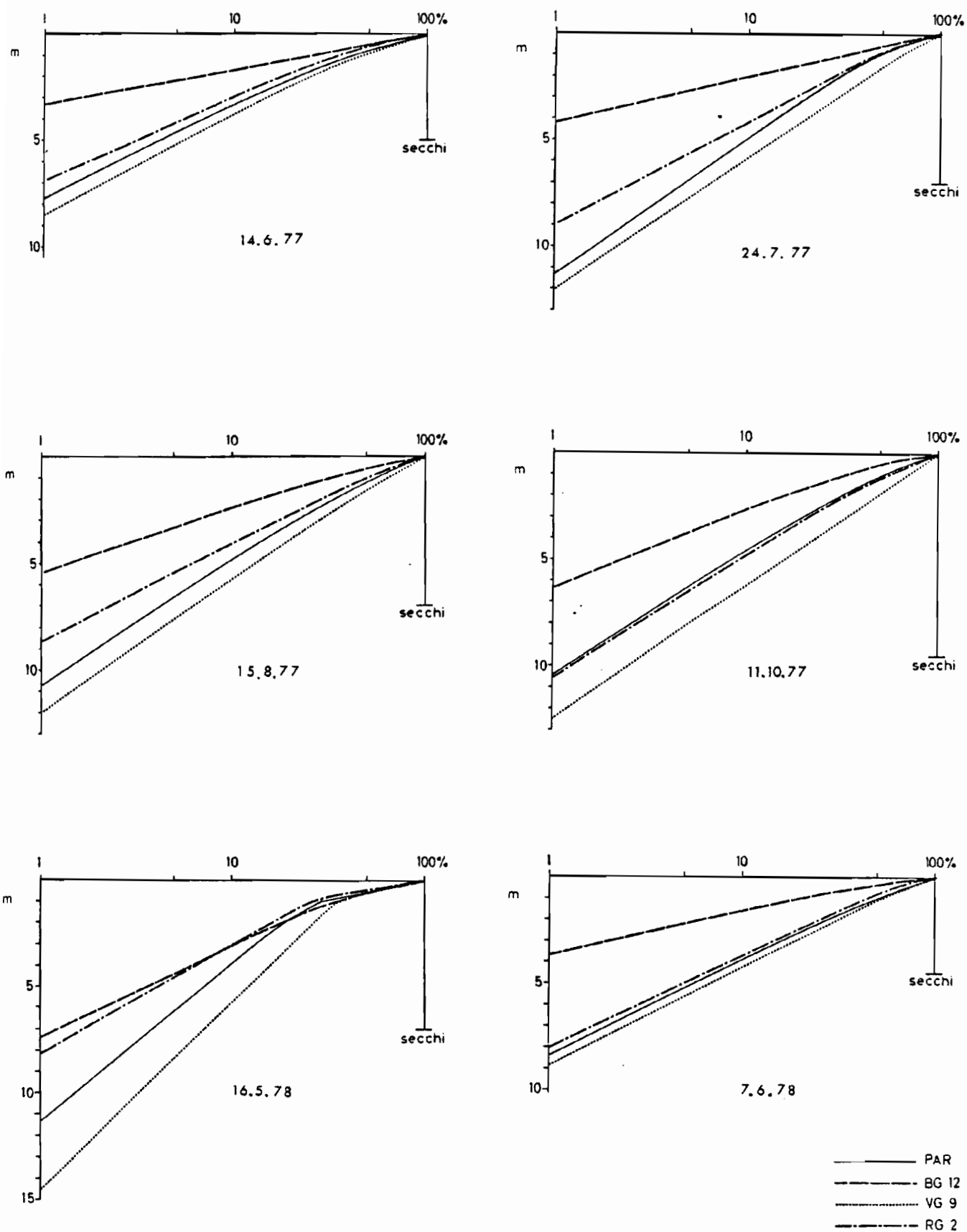


Fig. 20 Lystransmisjonskurver, Savalen, for PAR og de tre benyttede filtre. Lystransmisjonen med dypet er angitt i % av overflate-lyset for de angjeldende bølgelengder.

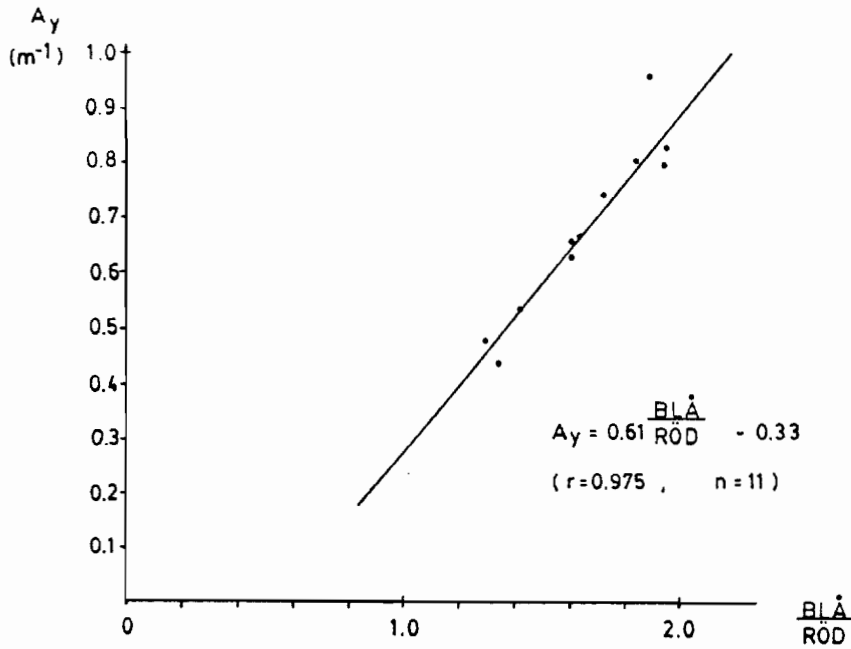


Fig: 23 Korrelasjon mellom A_y og forholdet mellom ekstinksjonskoeffisientene $E_{blå}$ og $E_{rød}$.

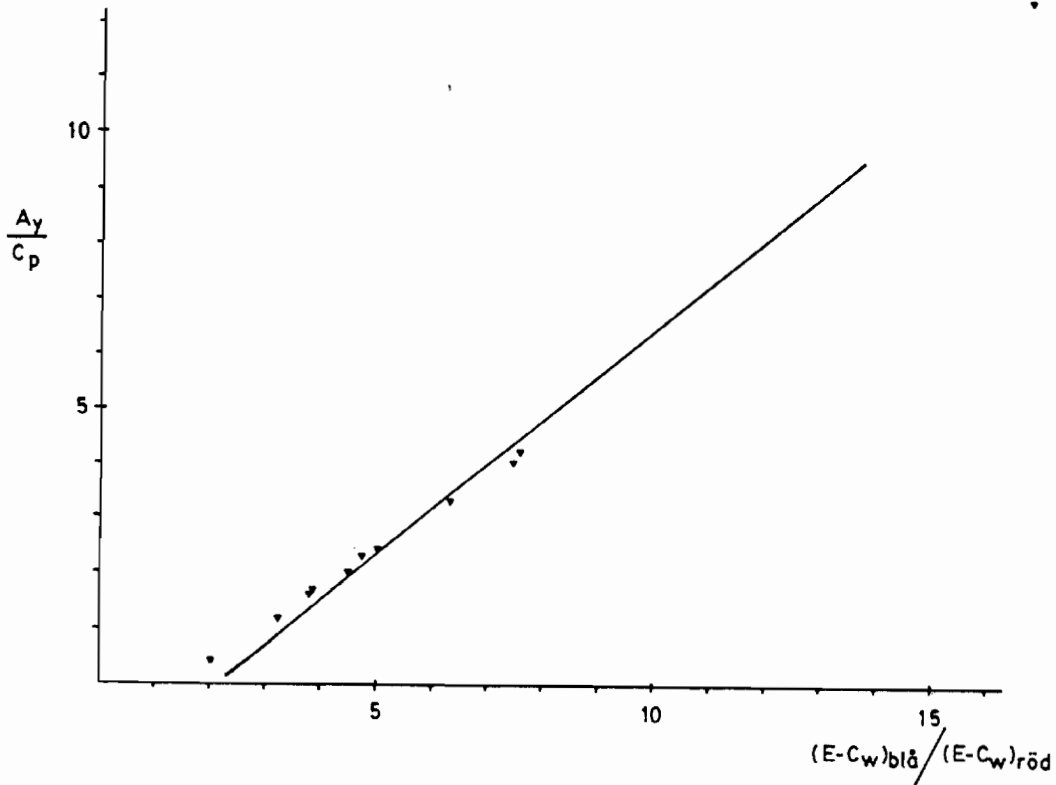


Fig: 24 Lineær regresjon mellom A_y/C_p og $\frac{(E-C_w)_{blå}}{(E-C_w)_{röd}}$.

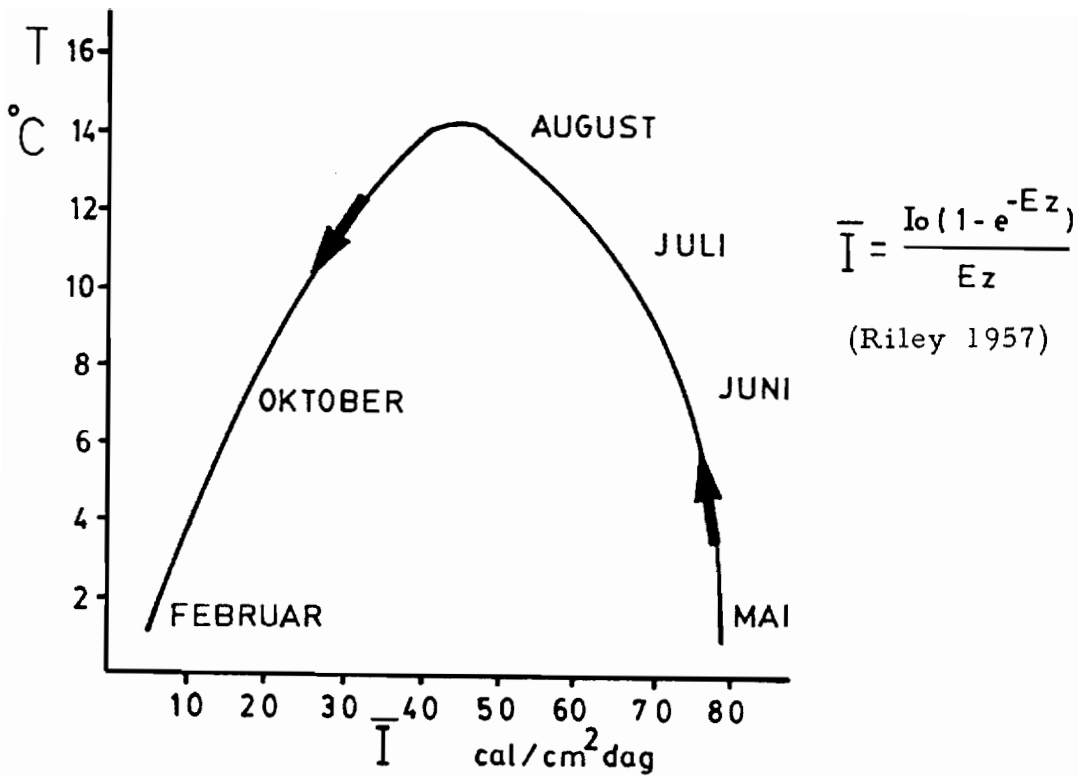


Fig: 26 Effektivt lysklima og temperatur over 1% nivå på klare dager. Savalen 1977/78.

Figur 26 viser det effektive lysklima over 1% nivå for Savalen. Man ser at dette er størst i perioden mai/juni, som er ved den tid isen går. Dette gir da et optimalt utgangspunkt for en rask vekst av Chrysophyceae like etter isløsningen.

Dersom siktedypsforholdene i Savalen bedres, vil dette medføre et høyere effektivt lysklima som teoretisk vil kunne gi et endret fytoplanktonsamfunn.

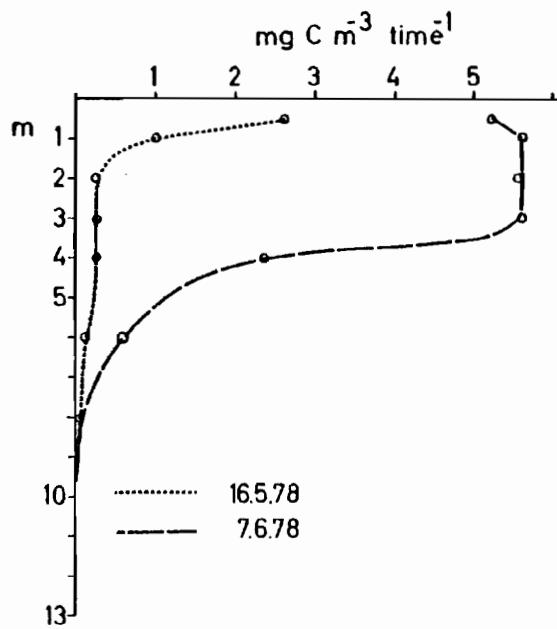
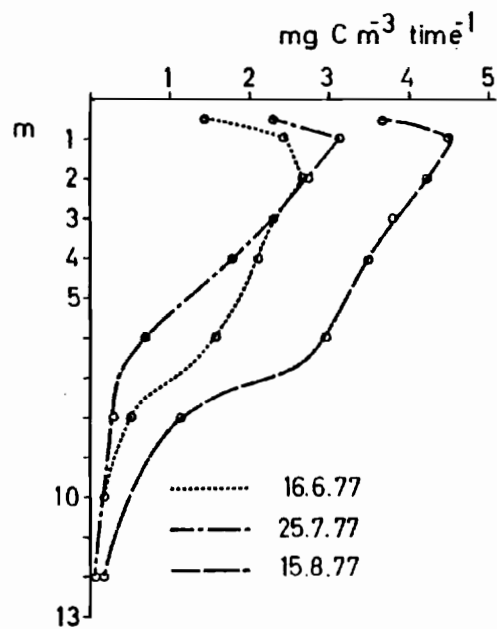


Fig. 28 Primærproduksjonskurver, Savalen, 1977/78.

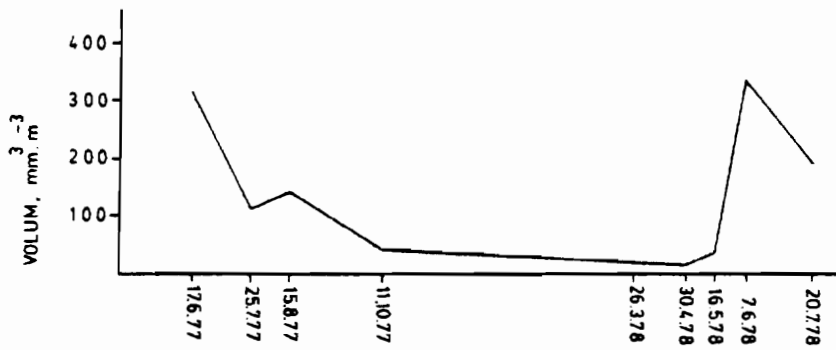


Fig. 29 Sukcesjon for total fytoplanktonbiomasse på 1m dyp. Savalen 1977/78.

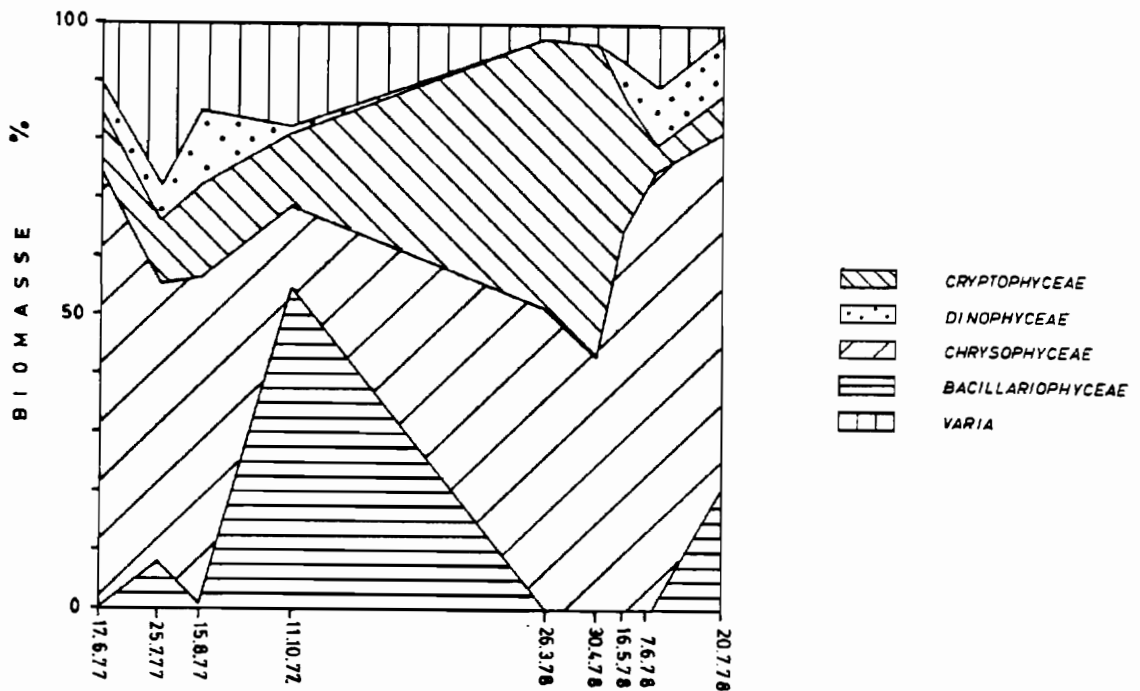


Fig. 30 Fordeling (%) av de enkelte klassene i forhold til total biomasse. Savalen 1977/78.

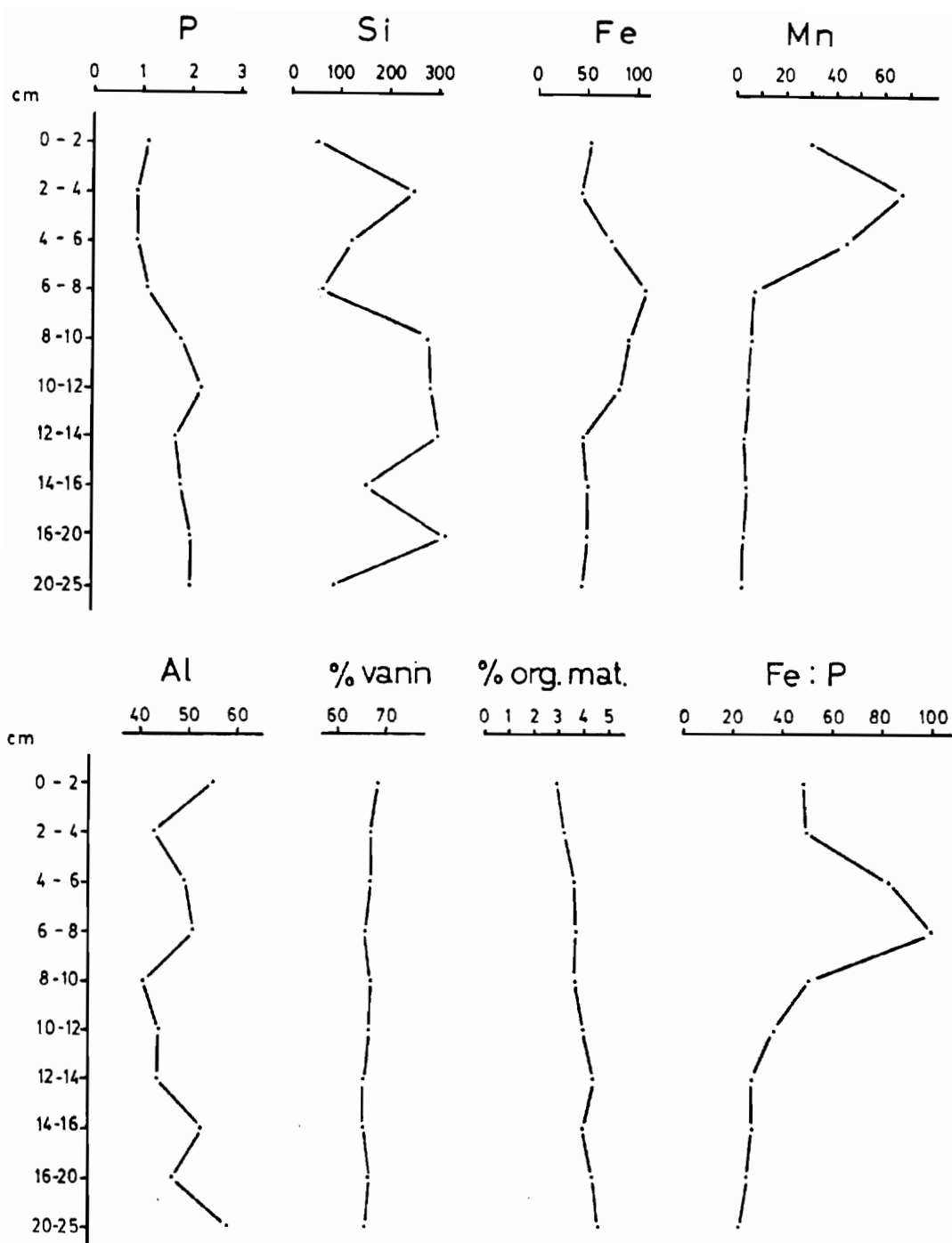


Fig. 32

Sediment, Savalen. Fordelingen av noen av de analyserte komponenter med dyppet i sedimentet. Benevning: mg/g.gv.

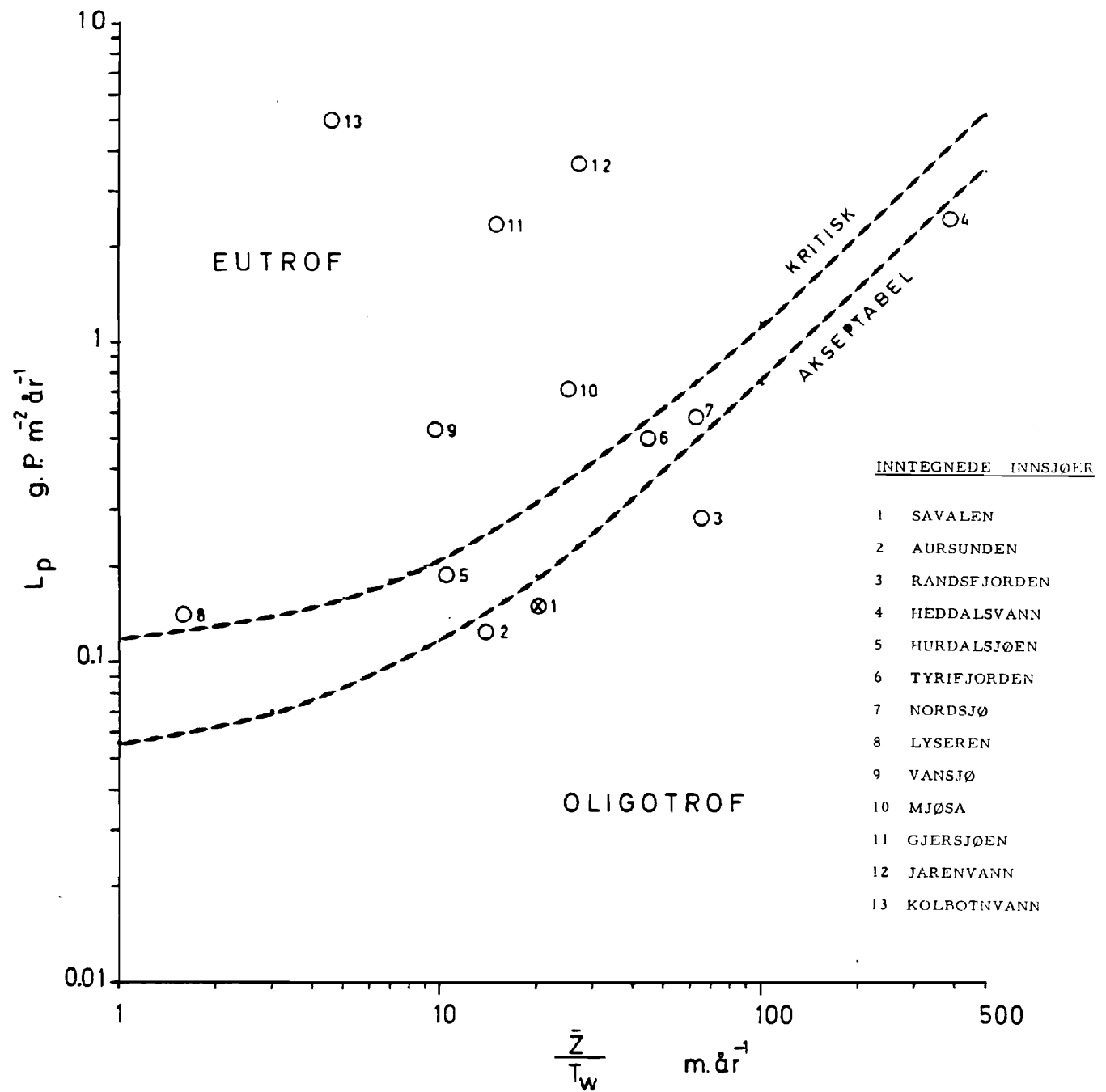


Fig. 34 Modifikasjon av Vollenweider's fosforbelastnings - diagram. De inntegnede grensene for kritisk og akseptabel belastning er etter Berge et.al. (1979). Data for Savalen er fra denne undersøkelsen, mens de andre innsjødataene er etter Holtan (1978).

























Trichomonas



Trichomonas vaginalis



Trichomonas +
Gardnerella



Gardnerella +
Trichomonas



Gardnerella



Gardnerella + *Trichomonas*